

تغییر در ترکیبات غشاء پایه رگهای آندومتر در مصرف کنندگان نورپلانت

مطبوعه سینه‌بر. مرکز ملی تحقیقات بهداشت بازرسی.

ابان س. فرایز

The Study of Alteration of Endometrial Basement Membrane Composition in Norplant Users

ABSTRACT

Breakthrough Bleeding (BTB) is the cause of 50% of discontinuations of use by long-acting progestogen-only contraceptive users. BTB appears to be associated with capillaries of abnormal morphology and fragility. Disturbances in vessels integrity, intercellular junctions or alteration of the basement membrane (BM) composition has been proposed to contribute toward the fragility of these capillaries.

In a clinical trial study, thirty-four healthy fertile volunteers were studied before and during use of levonorgestrel releasing subdermal contraceptive implant Norplant. Three endometrial biopsies were taken from each volunteer, one before insertion and two at different time intervals after exposure to Norplant. Then three major components of BM of endometrial vessels; Collagen IV (CIV), laminin and heparan sulphate proteoglycan (HSPG) were immunostained and studied. The density of immunostained vessels by each antibody were measured and compared with density of vessels stained by CD34. Double immunostain of CD34 and laminin was also used for demonstration of vessels without BM.

Significant decrease in vascular density showing BM components were shown in the study. The density of laminin-, CIV- and HSPG-positive vessels were decreased from 176 ± 8 , 166 ± 6.6 and 61 ± 6 vessels/mm² (Mean \pm SEM) in the endometrium of Norplant acceptors before use control samples to 156 ± 6 , 144 ± 6.2 and 33 ± 2.9 in the endometrium of Norplant acceptors after 2 to 13 weeks Norplant exposure, respectively ($P < 0.05$). This was occurring at the same time as the overall density of small vessels in Norplant exposed endometrium was showing increase. Significant decrease was also demonstrated over 13 to 42 weeks of use in the densities of laminin and HSPG - positive vessels compared with control ($P < 0.05$), although decrease in the density of CIV positive vessels was not significant.

Percentages of vessels showing BM were also calculated in the study. Significant decrease in the percentages of vessels showing BM were demonstrated after 2 to 13 weeks of Norplant use. The percentages of CD34 positive vessels showing laminin-CIV- and HSPG-positive BM in control samples were $97 \pm 3\%$, $88 \pm 3\%$ and $31 \pm 2\%$ (Mean \pm SEM) which significantly decreased to $79 \pm 3\%$, $75 \pm 4\%$ and $20 \pm 2\%$ in Norplant users, respectively ($P < 0.05$).

Decrease in the percentage of vessels showing BM was thought to be due to disturbances in the integrity of BM in endometrial vessels of women using Norplant which could be a cause for the fragility of the vessels. The decrease could also be due to decrease in the density of arteriols and increase in the density of venules and appearance of solid cords of endothelial cells. Double immunostaining of the endometrial vessels with anti-CD34 and anti-laminin clearly demonstrated loss of BM or weak staining of BM in the endometrial vessels of Norplant users.

Clarification of the local mechanisms which leads to capillary fragility and abnormal endometrial bleeding may lead to the development of better treatments or prevention and ultimately improve the acceptability of these contraceptives.

Key Words: Breakthrough Bleeding; levonorgestrel; Basement Membrane; Vessels; Laminin; Collagen IV; Heparan sulphate proteoglycan; Norplant

چکیده

غشاء پایه را نشان می‌دهند در مصرف کنندگان نورپلات نشان داده شد. درصد رگهای CD34 مثبت که لامینین - مثبت، CIV - مثبت و HSPG - مثبت نیز بودند، به ترتیب از ۳۱ ± ۲ ، ۹۷ ± ۳ و ۸۸ ± ۴ در آندومتر طبیعی به ۳ ± ۲ ، ۷۵ ± ۴ و ۷۹ ± ۲ پس از مصرف نورپلات ($۰/۰۵$) کاهش می‌یابد.

کاهش درصد رگهای کوچک آندومتر که غشاء پایه را نیز نشان می‌دهند، می‌تواند علت شکنندگی این رگها باشد. همچنین این کاهش می‌تواند به علت پدیدار شدن رشته‌هایی از سلولهای آندوتیالی باشد که قادر ساختمان لوله‌ای شکل هستند و یا ممکن است که بدليل کاهش آرتربیولها و افزایش سیاهرگها باشد. با رنگ آمیزی دوگانه رگها با آنتی CD34 و آنتی لامینین، فقدان غشاء پایه ایکمونگ بودن و ضعف آن به وضوح نشان داده شد.

شناخت مکانیسمهای موضعی خوتیری آندومتر رهگشایی برای پیدا کردن روش مناسب برای پیشگیری و درمان مناسب این نوع خوتیری و در نهایت افزایش میزان پذیرش این روش‌های جلوگیری خواهد بود.

مقدمه

تحقیقات نشان داده است که شکنندگی مویرگها، مشاً خوتیری در مصرف کنندگان و سایل جلوگیری از بارداری حاوی فقط پروژسترون می‌باشد (۱، ۲، ۳). اختلال و تغییر در ترکیب غشاء پایه می‌تواند موجب شکنندگی رگها و مویرگها باشد.

سلولهای آندوتیال توسط غشاء پایه که نوع تخصص پایه ماتریکس بین سلولی هستند و در رشد، تکامل و انجام اعمالشان دارای اهمیت فراوانی می‌باشند احاطه گردیده‌اند. غشاء پایه نه تنها پوششی است که حفاظت و اتصال سلولها را بعهده دارد، بلکه محدوده بافتی را مشخص کرده و مانند فیلتری با قدرت نفوذ انتخابی عمل می‌نماید. تغییر در ساختمان غشاء پایه موجب تغییر در اعمال سلول نظری حرکت، پرولیفراسیون و سنتز پروتئین خواهد شد (۴، ۵، ۶).

غشاء پایه رگها ترکیبی از چند ماکرومولکول مانند، لامینین (Lam)، کلاژن IV (CIV)، هپارن سولفات پروتولوگلیکن (HSPG)، پیدروژن و احتمالاً آناتکتین است (۷، ۸) که توسط خود

علت ۰/۵٪ از موارد قطع مصرف کنتراسپیووهای حاوی پروژسترون تنها، خوتیری‌های غیرطبیعی (BTB) Breakthrough Bleeding می‌باشد که با تغییر در شکل و شکنندگی دیواره مویرگها همراه است. تغییرات ساختمانی و ترکیباتی غشاء پایه می‌تواند منشأ شکنندگی مویرگها آندومتر در مصرف کنندگان این وسایل باشد.

در یک مطالعه کارآزمایی بالینی، ۳۲ زن سالم بارور داوطلب قبل و در زمان استفاده از کاشتنی‌های زیرجلدی آزاد کننده لوونورجسترل نورپلات مورد مطالعه قرار گرفتند. از هر زن سه بیوپسی از آندومتر، یکبار قبل از گذاشتن نورپلات و دو بار پس از استفاده از نورپلات گرفته شد. سپس با استفاده از روش‌های ایمونوهیستوکمیکال لامینین، کلاژن IV و هپارن سولفات پروتولوگلیکن موجود در غشاء پایه رگهای آندومتر رنگ آمیزی و مورد مطالعه قرار گرفت. تراکم رگهای رنگ آمیزی شده با آنتی بادی هر یک از آنها شمارش شد و با تراکم رگهای رنگ آمیزی شده با آنتی CD34 مقایسه گردید. رنگ آمیزی دوگانه CD34 و لامینین جهت نشان دادن رگهای بدون غشاء پایه نیز بکار برده شد.

نتایج این مطالعه نشان داد که، کاهش معنی‌داری در تراکم رگهای رنگ آمیزی شده با آنتی بادی‌های مواد تشکیل‌دهنده غشاء پایه رخ می‌دهد، بطوری که تعداد رگهای آنتی لامینین - مثبت ۸ ± ۸ آنتی کلاژن IV - مثبت ۷ ± ۷ و آنتی هپارن سولفات پروتولوگلیکن ۶ ± ۶ (میانگین \pm خطای معیار) رگ در mm^2 در آندومتر طبیعی است که به ترتیب به تعداد ۱۴۴ ± ۶ و ۱۴۴ ± ۳ و ۴۴ ± ۲ رگ در mm^2 پس از ۱۳-۲ هفته مصرف نورپلات کاهش می‌یابد ($P=0/01$). این کاهش علیرغم افزایش تراکم رگهای کوچک رنگ آمیزی شده با آنتی CD34 رخ می‌دهد [۱۷ ± ۱۷ رگ در mm^2 پس از ۱۳-۲ هفته مصرف نورپلات در مقایسه با ۲۵۴ ± ۱۷ رگ در mm^2 پس از ۱۳-۲ هفته مصرف نورپلات، $P=0/001$]. کاهش تراکم رگهای رنگ آمیزی شده با آنتی بادی‌های اجزای غشاء پایه، نه تنها در سه ماه اول پس از استفاده از نورپلات رخ می‌دهد، بلکه پس از سه ماه تا یکسال پس از استفاده از نورپلات نیز مشاهده شد.

در این مطالعه همچنین درصد رگهایی که غشاء پایه را نشان می‌دهند، نیز محاسبه گردید. کاهش معنی‌داری در نسبت رگهایی که

آندومنتر با استفاده از روش‌های ایمونو‌هیستوکمیکال مورد بررسی قرار دهیم. در این مطالعه سه ترکیب اصلی غشاء پایه رگهای آندومتر، لامینین، کلازن IV، هپارن سولفات پروتئوگلیکن مورد بررسی قرار گرفت.

هدف

هدف خاص این مطالعه بررسی اثر لوونورجسترل موجود در نورپلات نر ساختمان غشاء پایه رگهای آندومتر، با استفاده از روش‌های هیستوکمیکال بود. این مطالعه تغییر در تراکم رگهای رنگ آمیزی شده با آنتی‌بادی اجزای تشکیل‌دهنده غشاء پایه را در زمان استفاده از نورپلات با پیش از مصرف آن مقایسه کرد و برای اولین بار از همان افراد برای بررسی تغییرات زمانی ساختمان رگهای آندومتری که تحت تأثیر لوونورجسترل قرار گرفته بودند در مقایسه با سیکل طبیعی قبلی خود آنان استفاده کرد. استفاده از همان زمان بعنوان کنترل خود آنان ارزیابی این تغییرات را اعتبار بیشتری می‌بخشد. تراکم رگها در انواع مختلف آندومتر از لحاظ هیستولوژیک در مصرف‌کنندگان نورپلات مقایسه گردید.

روش و مواد

افراد مورد مطالعه: این مطالعه به بررسی آزمایشگاهی رگهای آندومتر در گروهی مشتمل از ۳۴ زن داوطلب استفاده از نورپلات، قبل و در زمان استفاده از نورپلات می‌پرداخت. افراد ۲۰ تا ۴۰ ساله‌ای که حداقل صاحب یک فرزند سالم بودند و دچار بیماری‌های همچون بیماری‌های قلبی - عروقی - کلیوی - شکنندگی مولیگها - اختلالات خونی نبودند و قادر پاتولوژی داخل رحمی بودند وارد مطالعه گردیدند.

این مطالعه در دپارتمان زنان و زایمان دانشگاه سیدنی و مرکز تحقیقات بهداشت باروری سیدنی انجام گردید.

این افراد با اطلاع کامل از شرایط مطالعه و پس از پر کردن فرم اجازه‌نامه در این مطالعه شرکت جستند. تأیید کمیته‌های اخلاقی انجمان تنظیم خانواده و انجمن جمعیت نیز برای این مطالعه گرفته شد.

از داوطلبین تقاضا گردید تا چارت ثبت وضعیت قاعدگی خود

سلولها ساخته شده و قادر به انجام واکنش با یکدیگر و نیز دارای تأثیر بر رفتار سلول هستند^(۹). دو جزء اصلی غشاء پایه، لامینین و کلازن IV می‌باشند. لامینین در اتصال سلولها، رشد و تکامل و مهاجرت سلولهای آندوتیال نقش عمده‌ای را ایفا می‌کند^(۱۱، ۱۰) و دارای سایتها فعالی است که در پروسه آنزیوژن و تشکیل تیوب شرکت می‌جویند^(۱۵، ۱۴، ۱۳، ۱۲). لامینین نقش خود را در پروسه آنزیوژن، از طریق افزایش فعالیت پروتئینازهایی که در تشکیل کاپیلاریها دارای اهمیت می‌باشد نیز ایفا می‌کند^(۱۶، ۱۵). کلازن IV همانند داریستی در ساختمان غشاء پایه عمل می‌کند^(۱۷) و وظیفه اصلی HSPG در کنترل رشد سلولهای آندوتیال است^(۱۸). استروژن، پروژسترون و پروژستوژنها در تشکیل غشاء پایه در آندومتر نقش مهمی را ایفا می‌کنند^(۲۰، ۱۹). شواهدی مانند: تجمع دوره‌ای و تدریجی لامینین و کلازن IV، در اطراف سلولهای استرومایی^(۲۵، ۲۴، ۲۳، ۲۲، ۲۱) مشاهده ضعف و منفصل بودن غشاء پایه در اوایل فاز پرولیفتراپی و محکمتر شدن تدریجی آن، که با میکروسکوپ الکترونیکی نشان داده شده است^(۲۶)، کاهش شدت رنگ آمیزی HSPG موجود در غشاء پایه رگها در فاز خونریزی سیکل قاعدگی^(۲۷) همگی دل بر این مدعای است.

مطالعات ایمونو‌هیستوکمیکال انجام شده بطور خاص بر روی غشاء پایه رگهای آندومتر طبیعی، نشان داده است که رنگ آمیزی کلازن IV و لامینین در انواع مختلف رگ و در مراحل مختلف سیکل قاعدگی تفاوتی ندارد و این دو جزء در کل رگهای موجود در آندومتر وجود دارند، در حالیکه در رنگ آمیزی با آنتی HSPG حدود ۰/۵۵ از کل رگها رنگ آمیزی می‌شود^(۲۷). مطالعه دیگری از همین نوع بر رگهای آندومتر طبیعی، شدت رنگ آمیزی غشاء پایه را در اوایل و اواسط فاز ترشحی سیکل طبیعی قاعدگی باشد کمتری نشان داد. شدت رنگ آمیزی کلازن IV و لامینین موجود در ماتریکس بین سلولی در آندومتر مصرف‌کنندگان نورپلات شدیدتر و وسیعتر از فاز ترشحی سیکل طبیعی قاعدگی نشان داده شده است^(۲۸).

اگرچه اثر پروژسترون و پروژستوژنها بر روی غشاء پایه رگها به اثبات رسیده است، اما نحوه این اثر، و تأثیر احتمالی پروژستوژنها بر اختلالات غشاء پایه رگهای آندومتر و فراهم کردن موجبات شکنندگی آنها و ایجاد خونریزیهای نامنظم رحمی در طول استفاده از کتراسپتیوهای هورمونی کمتر مورد مطالعه قرار گرفته است.

لذا در این مطالعه، ما بر آن شدیدم تا اثر کاشتی زیرپوستی آزادکننده لوونورجسترل، نورپلات را بر ساختمان غشاء پایه رگهای

استفاده از نورپلاتن گرفته شد. این بیوپسی‌ها با استفاده از Pippille suction انجام می‌گرفت. بیوپسی‌های آندومتری که پس از استفاده از نورپلاتن جمع‌آوری می‌گردید، به دو گروه ۱۳-۲ هفته پس از استفاده و ۱۴ تا ۲۲ هفته پس از استفاده از نورپلاتن تقسیم گردید.

روش ای-مونو-هیستوکمیستری جهت رنگ‌آمیزی نمونه‌ها

بیوپسی آندومتر بدست آمده از نمونه‌ها طی مراحل زیر مورد رنگ‌آمیزی قرار گرفت.

پس از گرفتن بیوپسی، سه بار بافت آندومتر در بافر فسفات سالین (PBS) شسته می‌شد و در بافر فرمالمیں ۱۰٪ به مدت ۸ ساعت فیکس می‌گردید و برای جلوگیری از فیکساسیون بیش از حد بافت به PBS منتقل می‌شد و در ۴°C ۸ تا ۱۲ ساعت تازمان برش نگهداری می‌گردید. پس از مراحل دهیدراتاسیون، کلیرینگ و اینفلتراسیون، قالب‌بندی می‌گردید. سپس بافت‌های قالب‌بندی شده ۵ μm به ضخامت ۰°C ۴۰ شناور می‌گردید و سپس بر اسلامیدهای سایالاتایز شده گذارده و خشک می‌گردید. رنگ‌آمیزی این اسلامیدها پس از مراحل دپارافینازاسیون و رهیدراسیون انجام می‌گرفت.

برای رنگ‌آمیزی اجزاء غشاء پایه رگهای آندومتر نیاز به مرحله پروتولیتیک دایجست (Proteolytic Digestion) برای unmusk در کردن نواحی آنتی‌ژنتیک بود. بدین منظور پروتئیناز K (DAKO) در ۲ ml محلول رقیق‌کننده آنتی‌بادی به مدت ۳ دقیقه بر روی بافت نمونه آندومتر، در حرارت اتاق انکوبات می‌شد. و سپس با تریس بافر سالین (TBS) به ملایمت آبکشی می‌گردید و به مدت ۵ دقیقه در محلول TBS فوار می‌گرفت.

قبل از انجام رنگ‌آمیزی نیاز به مرحله Target Retrieval بود.

برای انجام این مرحله، یک ظرف از نوع کاپلین با مقدار کافی از محلول Target Retrieval پر می‌گردید و سپس برش‌ها در ظرف حاوی محلول فوار داده می‌شد. ظرف در ماکرو‌بوگذارده می‌شد تا با قدرت زیاد، به سرعت به مرحله جوش برسد و به محض جوش آمدن، دستگاه خاموش می‌گردید تا محلول فرصت خنک شدن بیابد. بدنبال آن، ظرف حاوی اسلامیدها پاری دو دوره ۵ دقیقه‌ای دیگر، به فاصله یک دقیقه، اما این بار با قدرت پایین مایکروویو، در داخل دستگاه فوار می‌گرفتند. در طول انجام این مرحله می‌باشد دائمًا مقدار محلول داخل ظرف چک شود، تا در صورت لزوم به

را بطور روزانه کامل کنند. تعداد روزهای خونریزی با محاسبه تعداد روزهای لکبینی خونریزی در طول ۳۰ روز قبل از گرفتن بیوپسی آندومتر بدست آمد.

تاریخ گذاری دوره قاعدگی بر اساس نمای هیستولوژیک آندومتر و بر طبق گروه‌بندی نویز و همکاران انجام گرفت (۴۷). طبقه‌بندی هیستولوژیک راجرز و همکارانش نیز برای طبقه‌بندی هیستولوژیک بیوپسی مصرف‌کنندگان نورپلاتن به شرح زیر مورد استفاده واقع شد:

پرولیفراتیو: مشابه فاز پرولیفراتیو سیکل قاعدگی طبیعی است.

ترشحی: مشابه فاز ترشحی سیکل قاعدگی طبیعی است.

ریزش: آثار ریزش، مثل شکستن بافت و لخته‌های فیبرین وجود دارد، اما آثاری از فاز ترشحی قبلی وجود ندارد.

آتروفیک: آندومتر آتروفیک است. بافت بسیار کم با استرومای غلیظ و کاهش غدد با سلولهای اپی‌تلیال مکعبی مشاهده می‌شود.

پروژستوژنیک: آثار پروژستوژنیک خارجی مانند غدد کرچک با اپی‌تلیوم مکعبی یا استوانهای کوتاه و استرومای با دسیدوای کاذب وجود دارد.

میومتر و آندومتر بازال: ظاهر آن مانند بازالیس روی میومتر است. اپی‌تلیوم سطحی در این نمونه‌ها وجود ندارد، در این مطالعه تراکم رگهای کوچک فقط برای بافت شبیه بازال معین گردید.

بیوپسی‌های آندومتر با هماتوکسیلین و ائوزین رنگ‌آمیزی شد و توسط متخصص زنان پاتولوژیست طبقه‌بندی گردید. بیوپسی‌هایی که دارای اندازه و کیفیت کافی نبودند از مطالعه خارج گردیدند. نتیجه این طبقه‌بندی ۳۲ بیوپسی از داوطلبین نورپلاتن گذاری قبل از گذاشتن نورپلاتن (گروه کنترل) و ۵۸ بیوپسی در زمان استفاده از نورپلاتن (گروه درمان) بود.

روش جمع‌آوری نمونه‌های آندومتر

بیوپسی‌های آندومتر از افراد مراجعه کننده به انجمن تنظیم خانواده نیوساوث که داوطلب شرکت در مطالعه بوده و دارای سیکل طبیعی بوده و از وسایل پیشگیری از حاملگی هورمونی استفاده نمی‌کرند، گرفته شد. بیوپسی‌ها درست قبل از گذاشتن نورپلاتن، با استفاده از راکت کورت در اواسط فاز ترشحی آندومتر گرفته شد. از شرکت‌کنندگان در مطالعه درخواست گردید تا بعداً برای گرفتن دو بیوپسی دیگر به کلینیک مراجعه کنند. اولین بیوپسی بین ۱ تا ۶ ماه پس از استفاده از نورپلاتن و دومین بیوپسی بین ۳ تا ۶ ماه پس از

روی بافت آندومتر بکار برد. پس از آبکشی و دوبار حمام TBS بافت، هر بار به مدت ۲ دقیقه، کروموزن ۳-دی‌آمینو بتزاداین، تتراهیدرات - ۹-اتیل (DAB) برای قابل مشاهده کردن لامین، CIV و HSPG موجود در غشاء پایه دیواره موریگها، برای مدت ۱۰ دقیقه در حرارت اتاق بر روی بافت انکوبات می‌گردید. پس از یک آبکشی آرام با آب، اسلاید توسط هماتوكسیلین رنگ‌آمیزی می‌شد و توسط فارامونت DAKO و لامل مورد پوشش قرار می‌گرفت. جهت رنگ‌آمیزی کلیه رگهای موجود در آندومتر از DAKO Envision detection System Peroxidase (AEC) [CD34] استفاده گردید و نیز آنتی (Mouse monoclonal, clone QB-END/10 Novacastra) مدت ۱۰ دقیقه در حرارت اتاق استفاده می‌شد در این سیستم مراحل رنگ‌آمیزی همانند مراحل فوق الذکر است، به جز اینکه فاقد مراحل پروتولیتیک دایجست و Target Retrieval است و نیز به جای کروموزن DBA از کروموزن AEC به مدت ۱۰ دقیقه در حرارت اتاق استفاده می‌گردید.

روش شمارش رگهای آندومتر بدین قرار بود که رگهای رنگ‌آمیزی شده توسط DAB یا AEC با بزرگنمایی ۴۰۰ برابر میکروسکوب در ۳۰ محل مختلف بافت که بطور تصادفی انتخاب می‌گردید و مورد شمارش قرار می‌گرفت.

جهت مشاهده دقیقتر وضعیت غشا پایه رگهای آندومتر، تعداد محدودی از نمونه‌ها مورد رنگ‌آمیزی دوگانه (Double Immunohistochemical Staining) با آنتی CD34 مونوکلونال موشی با رفت ۱:۲۵ و آنتی لامین پلی‌کلونال خرگوشی با رفت (Rabbit anti-laminin, Prod. no. Z0097, DAKO, ۱:۲۵ DAKO Double P.C, 480mg/l) قرار گرفتند. بدین منظور از stain Kit استفاده گردید. در این سیستم مراحل دپارافینیزاسیون، رهیدراتاسیون، پروتولیتیک دایجست، Target retrieval peroxidase Blocking همانند پروسه قبل انجام می‌شد. مخلوطی از آنتی CD34 و آنتی لامین تهیه می‌گردید و به مدت یک ساعت در حرارت ۳۷°C بر روی بافت نمونه انکوبات می‌گردید. در این مرحله محلول کنترل نگاتیو موجود در خود کیت مورد استفاده قرار می‌گرفت. مراحل مربوط به Link آنتی‌بادی، آلتالین فسفاتاز - آنتی آلتالین فسفاتاز و پراکسیداز - آنتی پراکسیداز، به ترتیب و پس از آبکشی با TBS و حمام TBS بدنبال هر مرحله و هر یک به مدت ۳۰ دقیقه انجام می‌گردید Fast red system جهت رنگ‌آمیزی

دائماً مقدار محلول داخل ظرف چک شود، تا در صورت لزوم به محلول اضافه گردد و از کاهش فراوان محلول و خشک شدن نمونه‌ها اجتناب بعمل آید. سپس ظرف از مایکروویو خارج می‌شد و به مدت ۲۰ دقیقه جهت خنک شدن در حرارت اتاق گذارد و اسلايدها توسط آب مقطر شسته می‌شد و بعد در TBS قرار می‌گرفت.

جهت خنکی کردن فعالیت پراکسیداز داخلی بافت از هیدروژن پراکسیداز استفاده می‌شد. این مرحله به لحاظ وجود مقدار زیادی سلولهای قرمز خونی در بافت آندومتر در این مطالعه ضروری بود. برای انجام این مرحله، ماده بلوه کردن پراکسیداز Z کیست Envision به مقدار کافی برای پوشاندن کامل نمونه بکار بوده می‌شد و به مدت ۵ دقیقه در حرارت اتاق گذارد و نیز به مدت ۲ دقیقه در توسط آب خالص شسته می‌شد و دوبار، هر بار به مدت ۲ دقیقه در قرار داده می‌شد.

برای بلوه کردن رنگ‌آمیزی غیرخاص که ممکن است بعلت اتصال پروتئین آتش‌بادی به عناصر پرچارج بافت همبندی و کلازن اتفاق افتد و موجب رنگ‌آمیزی مثبت غیرخاص شود، پس از خشک کردن اطراف نمونه، سرم ۱/۵ خوک به مقدار کافی برای پوشاندن نمونه بکار برد و به مدت ۵ دقیقه در حرارت اتاق گذارد و می‌شد و بعد طوری پاک می‌گردید که موجب رقین شدن ماده بعدی نگردد.

پس از این مراحل نوبت اضافه کردن آتش‌بادی اولیه بود. بدین منظور آتش‌بادی لامینین (پلی‌کلونال خرگوش) با رفت ۱:۳۰۰۰ به مدت یک ساعت در حرارت ۳۷°C انکوباتور، آنتی CIV با رفت ۱:۵۰ به مدت ۳۰ دقیقه در حرارت اتاق و آنتی HSPG با رفت ۱:۲۵ به مدت یک ساعت در حرارت ۳۷°C انکوباتور گذارد و می‌شد و پس از آبکشی ملایم و دوبار حمام با محلول TBS، هر بار به مدت ۲ دقیقه، مرحله بعدی آغاز می‌گشت.

قابل ذکر است که در هر نوبت از رنگ‌آمیزی یک اسلاید از آندومتر طبیعی بعنوان کنترل نگاتیو نیز گذارد و ماده کنترل نگاتیو (DAKO^R, Product No. L1826) با همان رفت و زمان انکوباسیون و درجه حرارت بر روی نمونه به کار برد و می‌شد. آندومتر طبیعی نیز بعنوان کنترل مثبت در این آزمایش مورد استفاده قرار می‌گرفت.

پس از مصرف آتش‌بادی اولیه مرحله استفاده از پلیمر پراکسیداز لاپیل شده بود که این ماده به مدت ۳۰ دقیقه در حرارت اتاق بر

17 ± 204 پس از ۲ تا ۱۳ هفته مصرف نورپلاتت می‌رسید ($P < 0.05$, $n = 22$). همچنین افزایشی معنادار از میزان 7 ± 186 پیش از مصرف به میزان 10 ± 213 رگ در mm^2 پس از ۱۴ تا ۲۲ هفته مصرف نورپلاتت ($P < 0.05$, $n = 34$) مشاهده می‌گردید. (Paired t-test)

- درصد رگهای CD34 مثبتی که لامینین - کلاژن IV- و HSPG - مثبت نیز بودند، به ترتیب از 7.3 ± 4.93 و 7.86 ± 4.65 ٪ ± 7.3 و 7.21 ± 7.3 ٪ ± 7.5 ٪ ± 6.2 و 19 ± 2.2 ٪ ± 1.9 ٪ پس از ۲ تا ۱۳ هفته مصرف نورپلاتت کاهش معناداری (paired t-test, $P < 0.05$, $n = 34$).

- درصد رگهای CD34 مثبتی که لامینین - کلاژن IV- و HSPG - مثبت نیز بودند، بترتیب از 7.3 ± 4.97 و 7.88 ± 4.79 ٪ ± 7.2 و 7.21 ± 7.3 ٪ ± 7.5 ٪ ± 6.2 و 20 ± 2.2 ٪ ± 1.9 ٪ پس از ۱۴ تا ۲۲ هفته مصرف نورپلاتت کاهش معناداری می‌یافتد (Paired t-test, $P < 0.05$, $n = 34$). تصاویر ۷ تا ۱۰ رگهای فاقد غشاء پایه و یا با غشاء پایه ضعیف را نشان می‌دهد. تراکم رگهای لامینین -، کلاژن IV- و HSPG - مثبت در وضعیت‌های مختلف هیستولوژیک آندومتر مصرف‌کنندگان نورپلاتت در این مطالعه تفاوت معناداری را نشان نداد.

CIV, $F = 1/55$, $P = 0/2$; HSPG, $F = 0/99$, $P = 0/42$

(Laminin, $F = 1/3$, $P = 0/28$

نmodar ۱ و ۲ میانگین تراکم رگها را در وضعیت‌های مختلف هیستولوژیک مختلف آندومتر در آندومتر طبیعی قبل از مصرف نورپلاتت و نیز پس از مصرف نورپلاتت به ترتیب نشان می‌دهد. ارتباط معناداری نیز بین تراکم رگهای لامینین -، کلاژن IV- و HSPG - مثبت با طول مدت مصرف نورپلاتت، سطح سرمه استروژن و پروژسترون و نیز تعداد روزهای لکبیتی / خونریزی مشاهده نگردید. در نمونه‌های کستول، رنگ آمیزی در غشاء پایه اطراف رگها و غدد، لامینین، کلاژن IV و HSPG، بصورتی بسیار دقیق و خطی نشان داده شد. علیرغم عدم وجود HSPG، لامینین و کلاژن IV در ماتریکس بین سلولی در اطراف سلولهای استرومای نیز نشان داده شد. درجه‌بندی شدت رنگ آمیزی در این مطالعه بعلت اختلافات زیادی که در شدت رنگ آمیزی در بافت‌هایی که با فرمالین Fix می‌گردند و در پارافین قابل‌بندی می‌گردند، انجام نگرفت، اما بنظر می‌رسید که شدت رنگ آمیزی غشاء پایه رگها با آنتی HSPG پس از مصرف نورپلاتت بطری چشمگیری کاهش می‌یابد.

CD34 به مدت ۲۰ دقیقه در حرارت اتاق و DAB جهت رنگ آمیزی لامینین به مدت ۵ دقیقه در حرارت اتاق، بعنوان کروموزن مورد استفاده قرار گرفتند. قوار گرفتن Countestain و Mounting همانند قبل انجام می‌گرفت.

روش آنالیز

Paired t-test برای مقایسه تراکم رگها قبل و بعد از مصرف از نورپلاتت مورد استفاده قرار گرفت. آنالیز رگرسیون و ضریب همبستگی پیرسون نیز برای تعیین گرایش و برسی وجود یا عدم وجود همبستگی بین تراکم رگها با طول مدت استفاده، سطح هورمونهای سرم و روزهای خونریزی و بالاخره ANOVA برای مقایسه تعداد مویرگها در طبقه‌بندی‌های مختلف بافت آندومتر مورد استفاده قرار گرفت.

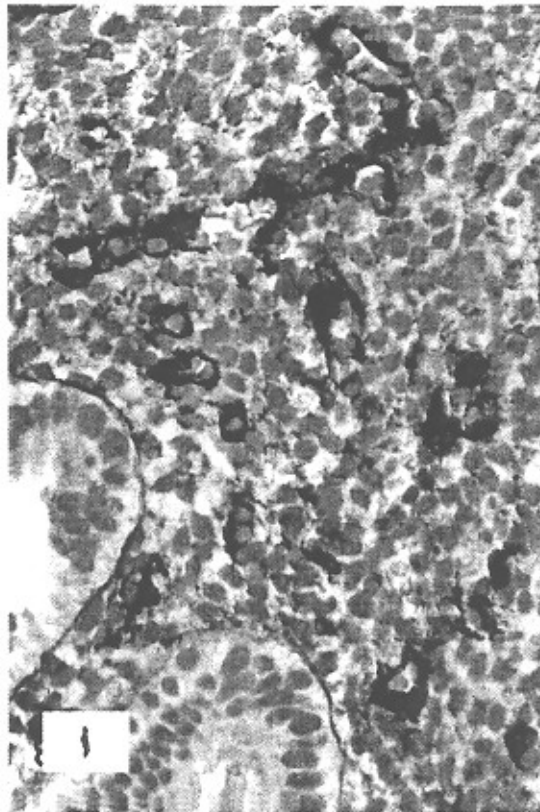
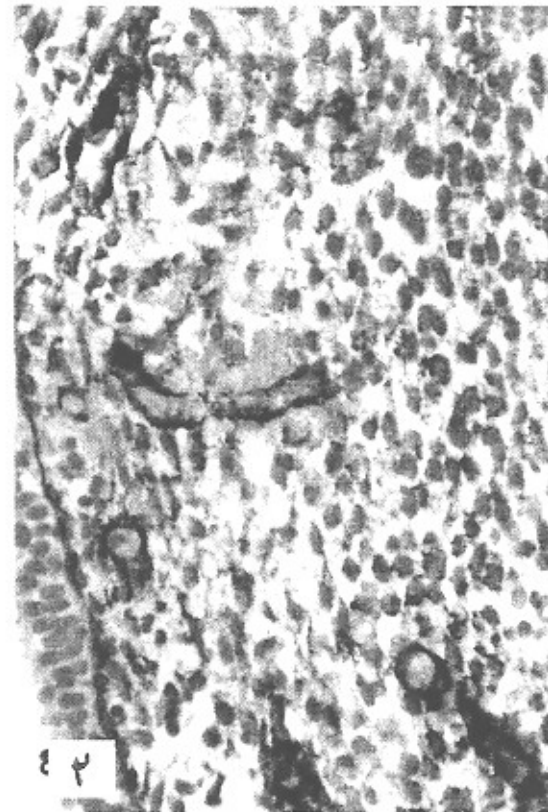
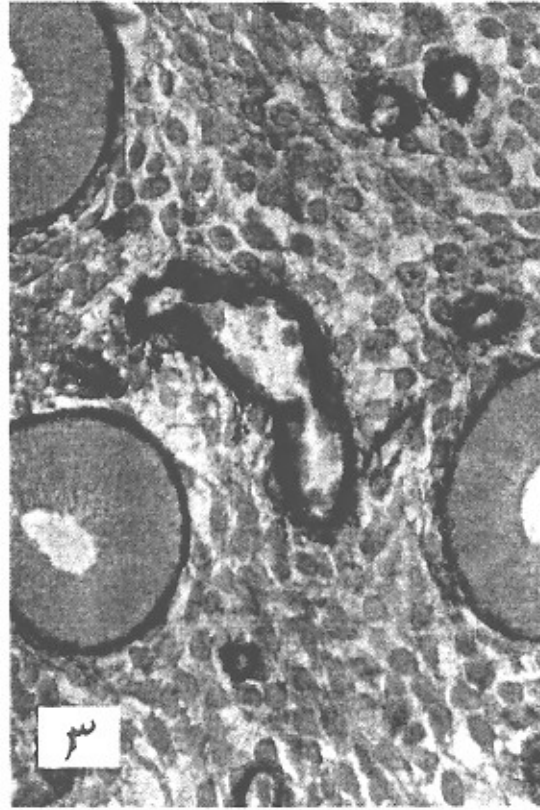
نسبت رگهای رنگ آمیزی شده برای اجزاء غشاء پایه به رگهای رنگ آمیزی شده توسط آنتی CD34 در آندومتر هر فرد محاسبه و به درصد بیان گردید.

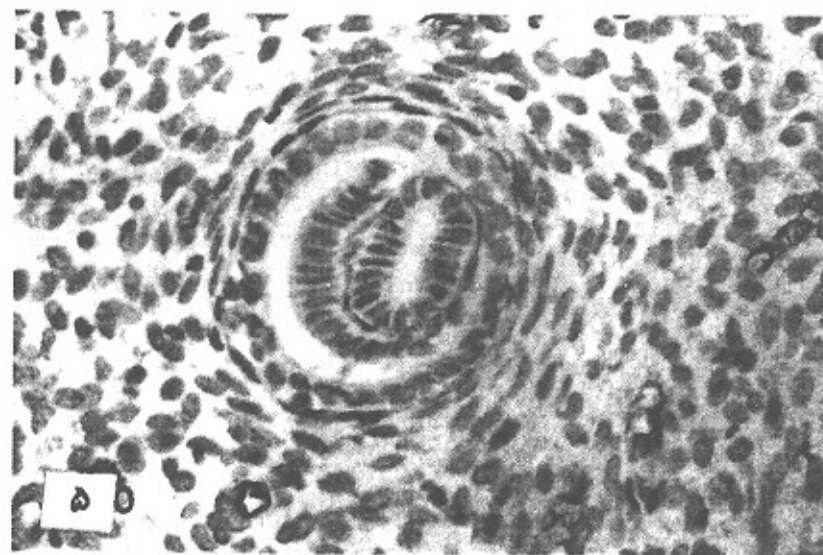
یافته‌ها

پس از ۲ تا ۱۳ هفته مصرف نورپلاتت کاهش معناداری در تراکم رگهای لامینین - کلاژن IV- HSPG مثبت به ترتیب 17.9 ± 7.6 ٪ ± 6.6 رگ در mm^2 قبل از مصرف نورپلاتت به 15.6 ± 6.6 ٪ ± 6.2 و 24 ± 6.2 ٪ ± 6.2 پس از مصرف نورپلاتت مشاهده گردید (Paired t-test, $P < 0.05$, $n = 22$).

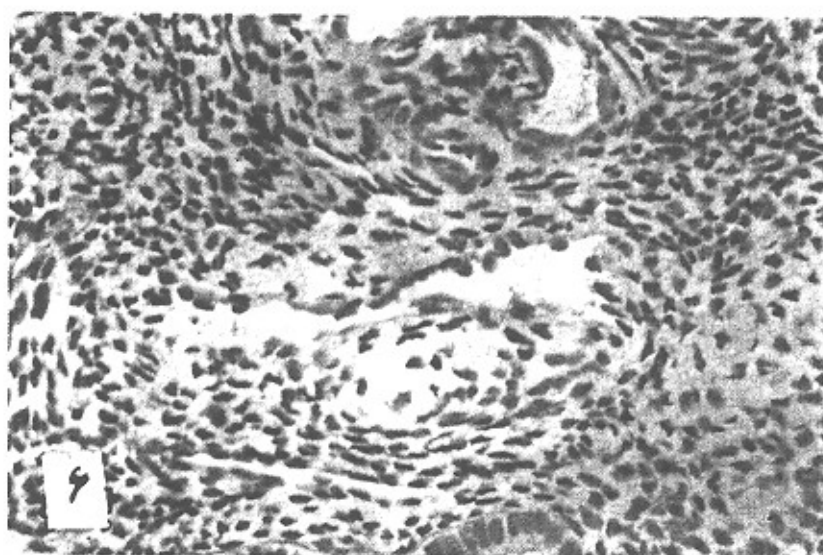
کاهش معناداری نیز در تراکم رگهای لامینین - کلاژن IV- و HSPG - مثبت به ترتیب از 7.5 ± 5.5 و 16.2 ± 6.6 رگ در mm^2 قبل از مصرف نورپلاتت به 15.1 ± 4.9 و 16.2 ± 4.2 رگ در mm^2 پس از ۱۴ تا ۲۲ هفته مصرف نورپلاتت مشاهده شد. (Paired t-test, $P < 0.05$, $n = 34$). تصاویر ۱ تا ۶ کاهش تراکم رگهایی که غشاء پایه را نشان می‌دهند، پس از مصرف نورپلاتت نشان می‌دهد.

این کاهش در حالی اتفاق می‌افتد که افزایش معناداری در تراکم رگهای CD34 مثبت هم پس از ۱۳-۲ هفته مصرف و هم پس از ۱۴ تا ۲۲ هفته مصرف نورپلاتت مشاهده می‌گردید. بطوری که تراکم رگهای CD34 مثبت از 19.2 ± 8 قبل از مصرف نورپلاتت به میزان

شکل ۱- تراکم رگهای لامین مثبت در آندومتر طبیعی ($\times 400$)شکل ۲- کاهش تراکم لامین مثبت پس از ۸ هفته مصرف نورپلات ($\times 400$)شکل ۳- تراکم رگهای CIV مثبت در آندومتر طبیعی ($\times 400$)شکل ۴- کاهش تراکم CIV مثبت پس از ۴ روز مصرف نورپلات ($\times 400$)

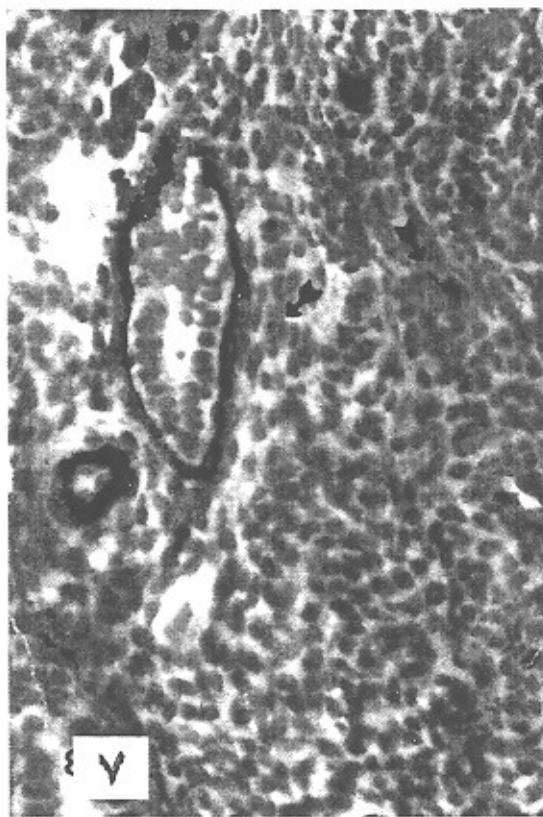


شکل ۵- تراکم رگهای HSPG مثبت در آندومتر طبیعی ($\times 400$)

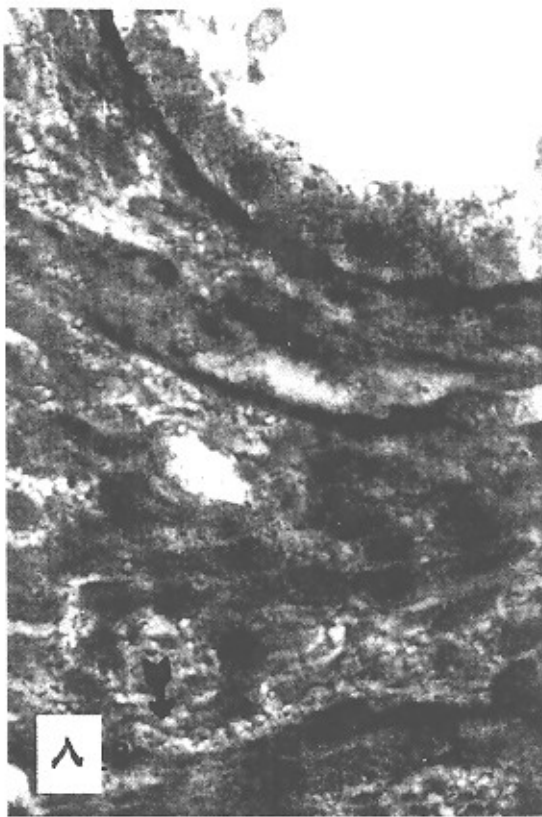


شکل ۶- کاهش تراکم HSPG مثبت پس از ۷ هفته مصرف نورپلات، کاهش

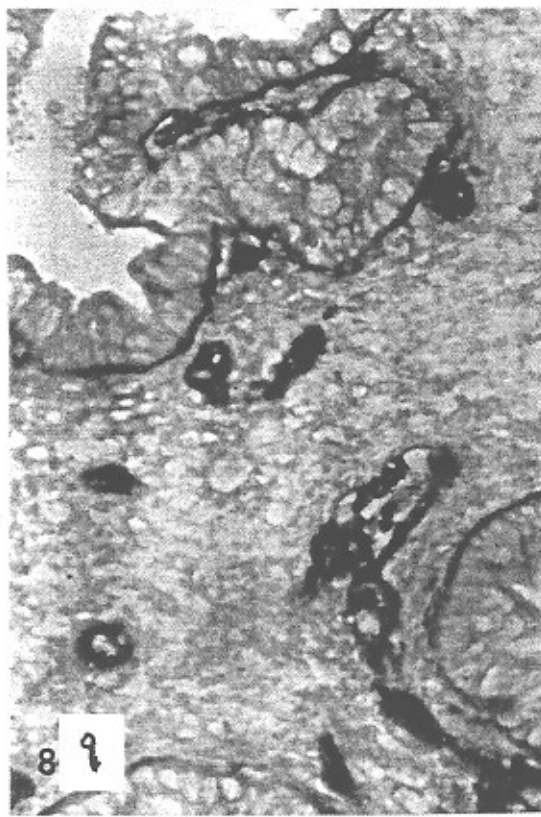
شدت و نگ آمیزی نیز بوضوح قابل مشاهده است ($\times 400$).



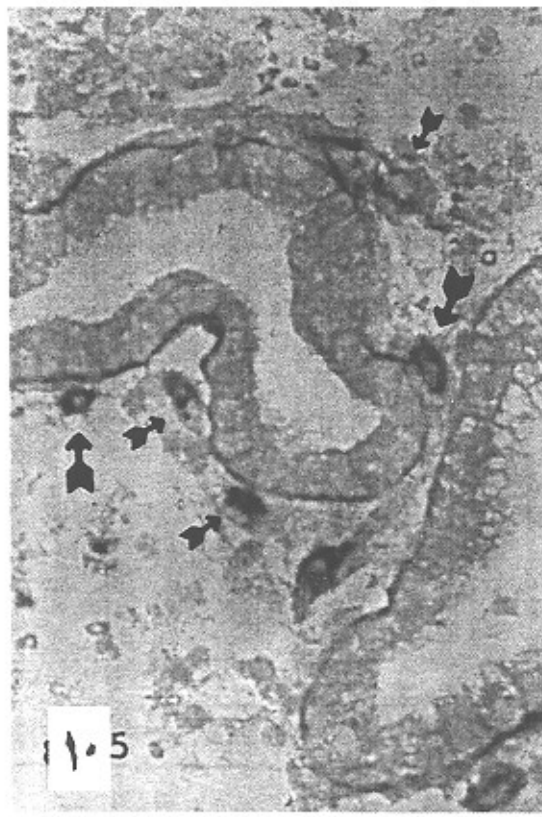
شکل ۷- رنگ آمیزی دوگانه ایونوهیستوکپکال رگها



شکل ۸- با استفاده از رنگ آمیزی دوگانه ایونوهیستوکپکال



شکل ۹- رنگ آمیزی دوگانه ایونوهیستوکپکال رگها با استفاده از آنی رنگ آمیزی ضعیف و گاه فاقد رنگ در غشاء پایه اطراف رگها مشاهده می‌گردد (× ۴۰۰) و آنی لامینین، غشا پایه بطور مشخصی در اطراف کلیه رگها بوضوح مشاهده می‌گردد (× ۴۰۰).



شکل ۱۰- با استفاده از رنگ آمیزی دوگانه ایونوهیستوکپکال رگها با استفاده از آنی رنگ آمیزی ضعیف و گاه فاقد رنگ در غشاء پایه اطراف رگها مشاهده می‌گردد (× ۴۰۰) و آنی لامینین، غشا پایه بطور مشخصی در اطراف کلیه رگها بوضوح مشاهده می‌گردد (× ۴۰۰).

CD34 و آنتی لامینین، این تصویر رنگ آمیزی ضعیف و حق فقدان غشاء پایه را در

اطراف مویرگها و رگهای کوچک نشان می‌دهد (x400).

شکل ۸- با استفاده از رنگ آمیزی دوگانه ایونوھیستوکمیکال، دو رنگ، یکی با

رنگ آمیزی قوی غشاء پایه و دیگری با رنگ آمیزی ضعیف و منفصل غشاء پایه،

در آندومتر پس از مصرف نورپلاتن تشن داده شده است (x1000).

شکل ۹- رنگ آمیزی دوگانه ایونوھیستوکمیکال رگها با استفاده از آنتی

CD34 و آنتی لامینین، غشا پایه بطور مشخصی در اطراف کلیه رگها بوضوح

مشاهده می‌گردد (x400).

شکل ۱۰- با استفاده از رنگ آمیزی دوگانه ایونوھیستوکمیکال، رگهای با

رنگ آمیزی ضعیف و گاه فاقد رنگ در غشاء پایه اطراف رگها مشاهده می‌گردد

(x400).

نمودار ۱- تراکم رگها در آندومتر طبیعی قبل از مصرف نورپلاتن، رنگ آمیزی شده توسط آنتی پادی های مختلف

نمودار ۲- تراکم رگها پس از مصرف نورپلاتن در نماهای هیستولوژیک مختلف آندومتر رنگ آمیزی شده توسط آنتی پادی های مختلف

شکل ۱- تراکم رگهای لامینین مثبت در آندومتر طبیعی (x400).

شکل ۲- کاهش تراکم لامینین مثبت پس از ۸ هفته مصرف نورپلاتن (x400).

شکل ۳- تراکم رگهای CIV مثبت در آندومتر طبیعی (x400).

شکل ۴- کاهش تراکم CIV مثبت پس از ۴ روز مصرف نورپلاتن (x400).

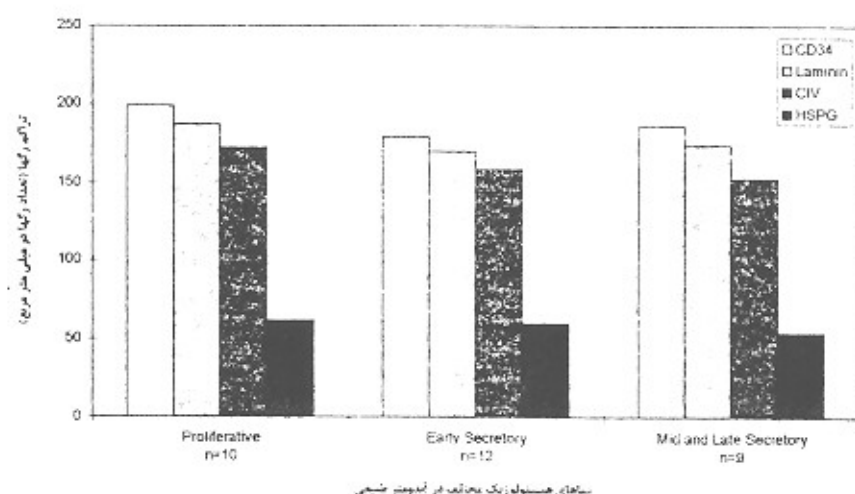
شکل ۵- تراکم رگهای HSPG مثبت در آندومتر طبیعی (x400).

شکل ۶- کاهش تراکم HSPG مثبت پس از ۷ هفته مصرف نورپلاتن، کاهش

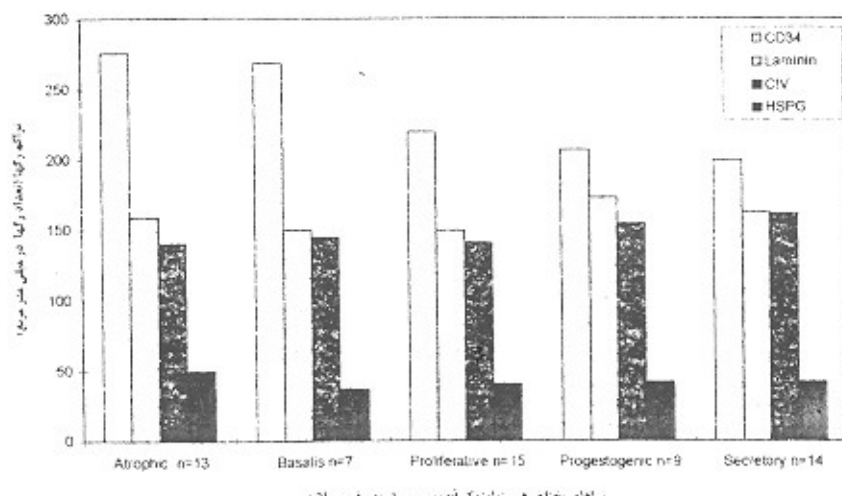
شدت رنگ آمیزی نیز بوضوح قابل مشاهده است (x400).

شکل ۷- رنگ آمیزی دوگانه ایونوھیستوکمیکال رگها با استفاده از آنتی

نمودار ۱: تراکم رگها در آندومتر طبیعی قبل از مصرف نورپلاتن، رنگ آمیزی شده توسط آنتی پادی های مختلف



نمودار ۲: تراکم رگها پس از مصرف نورپلاتن در نماهای هیستولوژیک مختلف آندومتر رنگ آمیزی شده توسط آنتی پادی های مختلف



بحث

تشکیل ساختمان لوله‌ای در مویرگها نیاز به یک ماتریکس غنی از کلاژنهای IV و V و لامینین دارد (۳۴). لامینین و نوع IV کلاژن در میان سایر پروتئینهای غشا پایه موجب تشکیل ساختمان مویرگی می‌گردد (۳۵). جذب این ترکیبات توسط غشاء پایه سلولهای آندوتیال رگها برای تشکیل ساختمان لوله‌ای شکل از ماتریکس بین سلولی نیاز به فعالیت Integrins دارد (۳۶). سلول رگهای کرچک چندین نوع Integrins را در سطح خود نشان می‌دهند، مانند $\alpha\beta 1$ و $\alpha\beta 1$ که گیرنده‌های لامینین و کلاژن IV هستند و $\alpha\beta 1$ که گیرنده لامینین است (۳۶). هرگونه اختلال در ظهور Integrins در آندومتر مصرف کنندگان نورپلاتت می‌تواند منجر به اختلال در تشکیل غشا پایه و موجب شکنندگی مویرگها گردد. بعلاوه فاکتور رشد فیربولاست (FGF) که یک فاکتور رشد وابسته به HSPG در ماتریکس بین سلولی است، از طریق بیوسنتر سایر یونیتهای α و β فعالیت اینتلگرینها را تنظیم می‌کند (۳۷، ۳۸). بنابراین، بررسی فعالیت اینتلگرینها و سایر عوامل واسطه‌ای در آندومتر مصرف کنندگان کتراسپیوهای حاوی فقط پروژسترون نیاز به تحقیقات بیشتری دارد.

۲- اختلال در فعالیت پروتولیتک ماتریکس بین سلولی متالوپروتینازهای ماتریکس بین سلولی نقش بسیار مهمی را در پروسه آثربوژنز و رگسیون ماتریکس بین سلولی در آندومتر و در طول قاعده‌گی افقاء می‌کنند (۳۸). تعادل دقیقی از فعالیت پروتاز آنتیپروتازها نیاز است تا در طول مهاجرت و تکامل سلولها، ماتریکس خارج سلولی را از انهدام و تخریب نامناسب حفظ نماید. فعالیت بیش از حد پروتولیتک موجب تشکیل رگهای معیوب می‌گردد. از طرفی، فقدان فعالیت پروتولیتک کافی موجب ممانعت در تشکیل ساختمان لوله‌ای مویرگها می‌گردد (۴۱، ۴۰، ۳۹). بنابراین، نامنظم بودن شکل رگها و ظهور رگهای متسع و کاهش در تراکم رگهایی که ترکیبات غشاء پایه را نشان می‌دهند، همگی می‌توانند عدم تعادل و اختلال در فعالیت پروتاز - آنتیپروتاز را در آندومتر مصرف کنندگان کتراسپیوهای حاوی پروژسترون تنها را پیشنهاد کنند. بعنوان مثال در آندومتر پرولیفراتیو و ترشحی اوروکیناز فعال کننده پلاسمینوزن و یا کلاژنаз وجود ندارد (۴۲). حضور غیرطبیعی اینگونه پروتازها در آندومتر کتراسپیوهای مورد نظر می‌تواند موضوعی برای به تحقیقات آینده باشد.

به علاوه، تشکیل غشاء پایه در اطراف سلولهای استرومما،

حضور سه جزء اصلی ساختمان غشاء پایه یعنی لامینین، کلاژن IV و HSPG در اطراف رگهای آندومتر مورد تأیید قرار گرفت (۲۷، ۲۵، ۲۳). در این مطالعه نشان داده شد که رگهای لامینین - کلاژن IV- و HSPG- مثبت به ترتیب ۷٪، ۸٪ و ۳٪ از رگهای آندومتر را تشکیل می‌دهند. ظهور لامینین اولین نشانه ماقjourاسیون رگهای است (۲۹) و در پروسه تنووازکولاریزاسیون و تشکیل غشاء پایه، رسوب لامینین مقدم بر کلاژن IV است (۹). بنابراین درصدهای ارائه شده می‌تواند نشان‌دهنده میزان رگهای ماقjour باشد.

کاهش معنی دار در تراکم رگهایی که توسط غشاء پایه احاطه گردیده‌اند، با استفاده از آنتی‌لامینین، آنتی‌کلاژن IV و آنتی‌HSPG نشان داده شد. این کاهش تا حدود زیادی می‌تواند مربوط به ساختمانهای پیش مویرگی و یا انتهای آزاد آسان در پروسه تنووازکولاریزاسیون باشد که هنوز قادر ساختمان لوله‌ای شکل و در نتیجه قادر غشا پایه و یا قادر ترکیبات مویره قابل تشخیص از لحاظ ایمونوهیستوکمیکال باشند. همانطوری که در رنگ آمیزی دوگانه رگهای آندومتر نیز نشان داده شد، قسمت اعظم رگهایی که در این مطالعه غشاء پایه را نشان ندادند، ساختمانهای پیش مویرگی هستند که قادر ساختمان لوله‌ای شکل می‌باشند و باید خاطر نشان کرد که یک مویرگ زمانی عمل می‌کند که ساختمان لوله‌ای شکل پیدا کند (۴۵ و ۴۶). بنابراین می‌توان نتیجه گرفت که در مصرف کنندگان نورپلاتت بسیاری از این ساختمانها قادر عملکرد هستند.

این کاهش می‌تواند مربوط به کاهش سرخرگها، افزایش نسبت مویرگها و سیاهرگها باشد. ضعیفتر بودن غشاء پایه سیاهرگها و لنفاتیکها نسبت به سرخرگها (۳۲، ۳۱، ۳۰) بعلت اندک بودن لامینین و کلاژن IV و فندان HSPG و فیبرونکتین در آنها است (۳۲). اصولاً رنگ آمیزی ایمونوهیستوکمیکال ضعیف و غیرممتد سیاهرگها و لنفاتیکها در مقابل رنگ آمیزی قوی و ممتد سرخرگها یکی از وجوده تمایز آنها از یکدیگر محسوب می‌گردد (۸). لازم به ذکر است که کاهش آرتربولهای مارپیچ و افزایش رگهای کرچک و ونلها، قبل نیز در مصرف کنندگان لوونورجسترل نشان داده شده است (۳۳).

کاهش تراکم رگهای احاطه شده توسط غشا پایه در مصرف کنندگان نورپلاتت می‌تواند به دو علت عملده زیر رخ دهد:

- کاهش یا اختلال در تشکیل غشاء پایه در پروسه آثربوژنز نیز

پرولیفراسیون سلولی و تولید فعال کننده‌های پلاسمینوژن در سلولهای آندوتیال دارد (۴۴). ظاهراً در زمان آنزیوژنیزیس، واکنشایی هماهنگ بین سلولهای آندوتیال مویرگهای آندومتر و اجزاء ماتریکس بین سلولی انجام می‌شود (۳۶) که احتمال مختلط شدن آن در مصرف کننده‌گان کتراسپیبوهای مورد بحث می‌تواند مورد بررسی قرار گیرد.

ارتباطی بین تراکم رگهای لامینین -، کلازن IV- و HSPG- مثبت با سطح استروژن و پروژسترون سرم دیده نشد که نشان‌دهنده کنترل این تغییرات توسط فاکتورهای موضعی است.

تصویرت تدریجی و پیشرونده در طول سیکل قاعدگی ترمال پیشنهاد می‌کند که این پدیده وابسته به پروژسترون است (۲۴). اگرچه عمل پروژسترون و پروژستونها در کنترل تکامل غشاء پایه هنوز ناشناخته است ولی تصور می‌شود که از طریق اثر بازدارنده در تشکیل کلائزناز در آندومتر اعمال می‌گردد (۴۳). اختلال در این روند نیز نیاز به مطالعه پیشتری دارد.

لامینین، کلازن از ترکیبات غشاء پایه هستند که دارای واکنش با bFGF در شرایط *in vivo* می‌باشند و بر فسفوریلاسیون آن با پروتوكیناز A تأثیر می‌گذارند. واکنش bFGF با پروتوقلیکان‌های سطح سلول نیاز به فرم باند شده bFGF برای تحریک

منابع

- 1- Blackwell PM, Fraser IS. A morphometric and ultrastructural study of the microvessels of the functional zone of normal human endometrium with some notions on possible secretory functions of endothelial cells. *Asia-Oceania J. Obstet. Gynaecol.*, (1988) 14, 233-50.
- 2- Fraser IS. Toward a better understanding of the effects of progestogens on the mechanisms of endometrial bleeding: recommendation for research. In: D'Arcangues C, Fraser IS, Newton JR, Odlind V (eds): Contraception and Mechanism of Endometrial Bleeding. Cambridge University press. Cambridge, New York, Portchester, Melbourne, Sydney (1990). pp 467-91.
- 3- Hickey M., Fraser IS, Dwarte D, Graham S. (1996) The endometrial vasculature in Norplant users: an hystroscopic study. *Hum. Reprod.* 11, Suppl 2, In press.
- 4- Yurchenco D.Y., Schittiny JC. Molecular architecture of basement membrane. *FASEB* (1990), 4, 1577-90.
- 5- Yurchenco PD, Tsilibary AC, Chronis AS, Furthmayr H. Models for the self-assembly of basement membrane. *J Histochem. Cytochem.* (1986), 34, 93-102.
- 6- Charonis A, Koliakos N, Koliakos G, Fields G, Rogger L, Lynch C, Spreeman M, Hunter A, Higson H. A novel laminin domain involved in adhesion of endothelial celss. In: Maragoudakis M E, Gullino PM. and Lelkes PI(eds.) Angiogenesis: Molecular Biology, Clinical Aspects NASO ASI Series, Series A: life sciences Vol. 263, Plenum press, New York, (1993) pp 119-23.
- 7- Timpl R, Martin GR. Composition of basement membranes. In: Furthmayr H(ed). Immunohistochemistry of the extra cellular matrix; Vol 2, CRC Press, Boca Raton (1982) pp 119-50.
- 8- Barsky SH, Siegal GP, Jannotta F, Liotta LA Loss of basement membrane components by invasive tumors but not by their benign counterparts. *Lab. Invest.* (1983) 49, 140-2.
- 9- Furthmayr H. Extracellular matrix. In: True LD, Roasi J (eds.) Diagnostic Immunohistopathology, Gower Medical Publishing, New York (1990) pp 16.2-16.25.
- 10- Kleinman HK, Cannon FB, Laurie GW, Hassel JR, Aumailley M, Terranova VP, Martin GR, DuBois-Daleq M. Biological activities of laminin. *J. Cell Biochem.*, (1985) 27, 317-25.
- 11- Beck C, Hunter I, Engel. Structure and function of laminin: Anatomy of a multidomain glyoprotein *FASEB J* (1990), 4, 148-60.
- 12- Kubota Y, Kleinman HK, Martin GR, Lawley TJ Role of laminin and basement membranes in the morphological differentiation of human endothelial cells into capillary like structures. *J cell biol.*, (1988) 107, 1589-98.
- 13- Grant DS, Kleinman HK, Martin GR The role of basement membrane in vascular development. *ANN Acad Sci.*, (1990) 588, 61-72.
- 14- Schnaper HW, Kleinman HK, Grant DS Role of laminin in endothelial cell recognition and differentiation. *Kidney Internat.* (1993), 43, 20-5.
- 15- Kleinman HK, Grant DS and Kibbey MC Basement membrane laminin-derived peptide skivan promote angiogenesis and tumor growth. In: Maragoudakis ME, Gullino PM and Lelkes PI (eds.). Angiogenesis: Molecular Biology, Clinical Aspects NASO ASI Series, Series A: life Sciences Vol. 263, Plenum Press, New York, (1993) pp 135-41.
- 16- Rifkin DB, Moscatelli D, Gross J, Jaffe E. Proteases, angiogenesis, and invasion. In: Nicolson GL, Milas L, Invasion and metastasis Biologic and therapeutic aspects, raven press, New York, (1984) pp 187-200.
- 17- Kuhn K. Basement membrane (type IV) collagen. *Matrix Biol.* 14, 439-45.
- 18- Fransson LA, Carlstedt I, Coster L, Malmstrom A. (1986) The

- function of the heparan sulfate proteoglycans. Ciba Foundation symposium, (1995) 124, 124-42.
- 19- Whitehead MI, King RJB, MacQueen J, Campbell S. Endometrial histology and biochemistry of the endometrium of postmenopausal women receiving low dose oestrogen therapy. *Am J Obstet Gynecol* (1982) 142, 791-95.
 - 20- Jassoni VM, Bulletti C, Balducci M, Naldi S, Matinelli G, Gallassi A, Flamigni C. The effect of progestin on factors influencing growth and invasion of endometrial carcinoma. In: Bulletti C, Gorpide E (eds.) *The Primate Endometrium*. ANY Acad Sci, (1991) 622, 463-76.
 - 21- Dallenbach-Hellweg G., Poulsen H. Atals of endometrial histopathology. Munskgarard, Copenhagen, (1950) pp - 88.
 - 22- Wewer VM, Faber M, Liotta LA, Albrechsten R. Immunohistochemical and ultrastructural assessment of the nature of pericellular basement membrane of human decidual cells. *Lab. Invest.*, (1985) 53, 624-27.
 - 23- Faber M, Wewer UM, Berthelsen JG, Liotta LA, ALbrechsten R. Laminin production by human endometrial stromal cells relates to the cyclic and pathologic state of endometrium. *Am J Pathol* (1986) 124, 384-98.
 - 24- Bulletti C, Galassi A, Jasonni VM, Martinelli G, Tabanell S, Flamigni C. Basement Membrane Components in Normal Hyperplastic and Neoplastic Endometrium. *Cancer*, (1988) 62, 142-49.
 - 25- Aplin JD, Charlton AK and Ayad S. An immunohistochemical study of human extracellular matrix during the menstrual cycle and first trimester of pregnancy. *Cell Tissue Res*, (1988) 253, 231-40.
 - 26- Roberts DK, Parmley TH, Walker NJ, Horbelt DV. Ultrastructure of the microvasculature in the human endometrium throughout the normal menstrual cycle. *Am. J Obslet Gyn*, (1992) 166, 1393-406.
 - 27- Kelly FD, Tawia SA, Rogers PAW. Immunohistochemical characterisation of human endometrial microvasculature basement membrane components during the normal menstrual cycle. *Hum. Reprod*, (1995) 10, 267-86.
 - 28- Palmer JA, Lau T, Hickey M, Simbar M, Rogers PAW. Immunohistochemical study of endometrial microvascular basement membrane components in women using Norplant FSA 71 (1995).
 - 29- Risau W, Lemmon V. Changes in the vascular extracellular matrix during embryonic vasculogenesis and angiogenesis. *Develop. Biol* (1988) 125, 441-50.
 - 30- Kumar S, West DC and Ager A. Heterogeneity in endothelial cells from large vessels and microvessels. *Differentiation*, (1987) 36, 57-70.
 - 31- Otsuki Y, Kubo H, Magari S. immunohistochemical differentiation between lymphatic vessels and blood vessels-use of anti-basement membrane antibodies and anti factor VIII-related antigen. *Arch Histol Cytol*, (1990) 53 (suppl), 95-105.
 - 32- Norlich AG and Schleicher E. Identification of lymph and blood capillaries by immunohistochemical staining for various basement membrane components. *Histochem*, (1991) 96, 449-53.
 - 33- Hourihan HM, Sheppard BL, Belsey EM, Brosens IA. Endometrial vascular features prior to and following exposure to levonorestrel. *Contraception*, (1991) 43, 375-85
 - 34- Fajardo LF. The complexity of endothelial cells. *Am J Clin Pathol* (1989) 92, 241-250.
 - 35- Grant DS, Toshiro KI, Segue-Real B, Yamada Y, Martin GR, and Kleinman HK. Two different laminin domains mediate the differentiation of human endothelial cells in capillary like structures in vitro. *Cell* (1989) 58, 933-43.
 - 36- Klein S, Giancotti FG, Presta M, Clayton A, Rifkin D. and Rifkin B. Basic fibroblast growth factor modulates integrin expression in microvascular endothelial cells. *Molec. Biol*, (1993) 4, 973-82.
 - 37- Klagsbrun M. Mediators of angiogenesis: the biological significance of basic fibroblast growth factor (bFGF) - heparin and heparan sulfate interactions. *Cancer biol*, (1992) 3, 81-87.
 - 38- Salamonsen LA Matrix metalloproteinases and endometrial remodelling. *Cell Biol. Intern* (1994) 18, 1139-44.
 - 39- Pepper MS, Vassalli JD, Orci L, Montesano R. Angiogenesis in vitro: cytokine interactions and balanced extracellular proteolysis. In Maragoudakis ME, Gullino PM and Lelkes PI (eds.) *Angiogenesis: Molecular Biology, Clinical Aspects NASO ASI Series, Series A: life Sciences Vol. 263*, Plenum Press New York. (1993) pp 149-71.
 - 40- Pepper MS, Ferrara N, Orci L, Maontesano R. Potent synergism between vascular endothelia growth factor and basic fibroblast growth factor in the induction of angiogenesis in vitro. *Biochem. Biophys. Res Comun* (1993) 189, 824-31.
 - 41- Pepper MS, Vassalli JD, Wilks JW, Schweigerer L, Orci L, Montesao R. Modulation of bovine microvascular endothelial cell proteolytic properties by inhibitors of angiogenesis. *J Cell Biochem*, (1994) 55, 419-34.
 - 42- Bulletti C, Jassoni VM, Polli V, Cappuccini F, Galassi A, and Flamigni C. Basement membrane in human endometrium: Possible role of proteolytic enzymes in developing hyperplasia and carcinoma. In: Bulletti C, Gorpide E. (eds.) *The Endometrium*. AN Acad Sci, (1991) 622, 376-82.
 - 43- Marbaix E, Kokorine I, Henrist P, Dones J, Courterey PJ, Bexkhout Y. The expression of interstitial collagenase in human endometrium is controlled by progesterone and by oestradiol and is related to menstruation. *Biochem. J*, (1995), 305, 1027-30.
 - 44- Presta M, Rusnati M, Gualandris A, Dell'Era P, Urbiniati C, Coltrini D, Tanghetti, and Belleri M. Human basic fibroblast growth factor; Structure - function relationship of an angiogenic molecule. In: Maragoudakis ME, Gullino PM and Lelkes PI (eds.) *Angiogenesis: Molecular Biology, Clinical Aspects NASO*

- ASI Series, Series A: life Sciences Vol. 263, Plenum Press, New York (1993) pp 39-51.
- 45- Folkman J and Klagsbrun M. Angiogenic factors. *Science*, (1987) 235, 442-47.
- 46- Klagsbrun M. and D'Amore P. Regulators of angiogenesis. *Ann Rev Physiol*, (1991) 53, 217-39.
- 47- Noyes RW, Hertig AT, Rock J. Dating the endometrial biopsy. *Fertil Steril*, (1950) 1: 3-25.